

INFORME DE ENSAYO IE260006

TIPO DE ENSAYO

Ensayo fotométrico según (UNE-EN 13032-4:2016+A1:2020)

- Distribución angular de intensidad luminosa
- Flujo luminoso emitido, flujos zonales
- Códigos CIE 1952, clasificación LCS y BUG ANSI/IES TM-15-20
- Curvas isolux
- Diagrama del factor de utilización: flujo calle / acera
- Tensión, intensidad, consumo, factor de potencia y eficacia (lm/W)

DATOS SOLICITANTE

Nombre: Vimbio Corp S.L.

Dirección: C/ República Checa, 23-25 - P. E. Costa Vella. 15707.
Santiago de Compostela (A Coruña)

Fecha de ensayo: 22/01/2026

Fecha de emisión (junto a la firma)

Persona que autoriza:

Responsable Técnico

Los resultados de este informe sólo conciernen a las muestras cuya descripción aparece en el informe. Este informe no será válido si presenta tachaduras o enmiendas.

Queda prohibida la reproducción total o parcial de este informe en cualquier medio o por cualquier medio sin el consentimiento expreso de candelTEC y del solicitante.

Este informe ha sido firmado digitalmente.

1. DESCRIPCIÓN DE LA MUESTRA

Identificación: EE260013-1; EE260013-2

Muestra de ensayo EE260013 compuesta por EE260013-1; EE260013-2

Descripción: Luminaria LED tipo Fernandina

Información proporcionada por el solicitante:

Modelo: Faro Series S2

Referencia: FRO2-100W2S4-27K7-24FL-gg20C-1_BK-A2

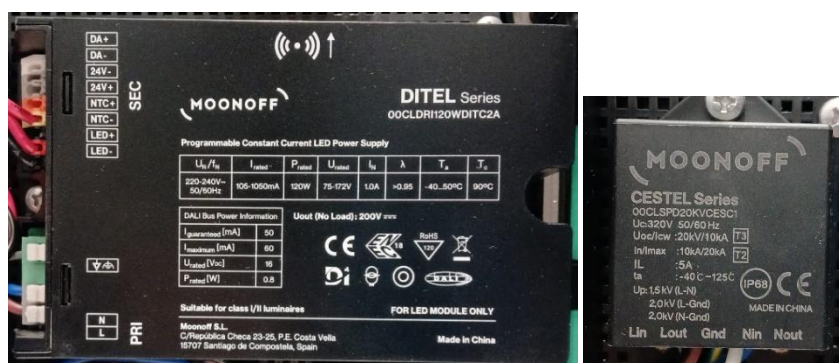
Dimensiones: 493 mm x 860 mm (diámetro x altura)

Las partes de la muestra quedan identificadas en laboratorio como sigue:

EE260013-1: Estructura de luminaria, incluye 4 placas con 12 LEDs cada una, y lentes individuales.



EE260013-2: Driver MOONOFF DITEL SERIES 00CLDRI120WDITC2A y protector sobretensiones CESTEL Series 00CLSPD20KVCEC1.



Marcas identificativas:**Fecha de recepción:** 20/01/2026**Suministrador de la muestra:** el solicitante

“El laboratorio no se hace responsable de la información suministrada por el cliente, así como, de las marcas identificativas que incorpore la muestra y esta información no está cubierta por la acreditación”.

2. ENSAYO

Método de ensayo

Ensayo realizado según norma UNE-EN 13032-4:2016+A1:2020. “Luz y alumbrado. Medición y presentación de datos fotométricos de lámparas y luminarias. Parte 4: Lámparas LED, módulos y luminarias”. Ensayo y procesado de datos según procedimientos técnicos: PT05 Medida de la distribución angular de iluminancia en lámparas LED, módulos y luminarias. PT06 Procesado de datos obtenidos de la medida de la distribución angular de iluminancia en lámparas LED, módulos y luminarias.

Se determina la distribución angular de iluminancia de la luminaria en un laboratorio fotométrico, minimizando la incidencia en el detector de reflexiones y luces parásitas.

Posición de ensayo: variable para cada plano de medida. Los datos obtenidos se ajustan a la posición de funcionamiento de la muestra.

Distancia de medida: (12.495 ± 0.010) m

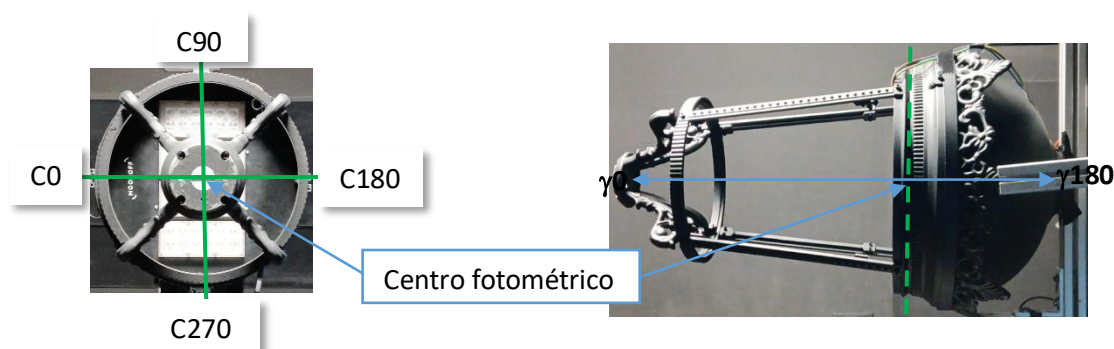
Equipos de medida utilizados

Equipos y patrones calibrados que garantizan la trazabilidad metrológica al Sistema Internacional de Unidades (SI) u otras referencias internacionalmente aceptadas (cuando no es posible la trazabilidad al SI).

- Goniofotómetro LMT GO-V 1920 (E0037)
- Termohigrómetro digital PCE 313-A (E0107)
- Telémetro láser Bosch (E0016)
- Luxómetro auxiliar LMT (E0038)

CONDICIONES AMBIENTALES REGISTRADAS DURANTE EL ENSAYO	
Temperatura	Humedad
(24.82 ± 0.52) °C	(32.5 ± 1.6) % Hr

Sistema de referencia utilizado en el ensayo



Planos C y direcciones gamma medidos: 36 planos C con un intervalo de 5° y medidas en gamma $[0^\circ-180^\circ]$ con un intervalo de 1°. En el informe se muestran las medidas en planos C cada 15° y en gamma cada 5°, la tabla de datos completa está a disposición del solicitante.

3. RESULTADOS

DISTRIBUCIÓN ANGULAR DE INTENSIDAD LUMINOSA

γ	Intensidad luminosa (cd) e incertidumbre asociada ⁱ											
	C0		C15		C30		C45		C60		C75	
(°)	I	U (I)	I	U (I)	I	U (I)	I	U (I)	I	U (I)	I	U (I)
0	1900	100	1900	100	1900	100	1900	100	1900	100	1900	100
5	2160	110	2140	110	2480	130	2370	130	2450	130	2470	130
10	2070	110	2380	130	2550	130	2480	130	2780	150	2490	130
15	2520	130	2590	140	3060	160	2670	140	2890	150	2740	140
20	2670	140	2830	150	3180	170	3090	160	3440	180	3600	190
25	2870	150	3440	180	3490	180	3420	180	3290	170	3530	190
30	3340	180	4060	210	3810	200	3620	190	3680	190	3880	200
35	3530	190	4240	220	4300	230	3950	210	3990	210	4290	230
40	3610	190	4550	240	4520	240	4340	230	4630	240	5230	280
45	3440	180	4560	240	4780	250	4870	260	5190	270	5360	280
50	3450	180	4790	250	5020	260	5610	300	5020	270	4510	240
55	3510	190	5080	270	5840	310	5290	280	4210	220	3460	180
60	3540	190	5770	300	6380	340	4180	220	2560	140	575	34
65	3250	170	6370	340	5000	260	3130	170	352	21	213	13
70	2230	120	4830	250	4090	220	661	39	149.7	8.9	157.4	9.3
75	754	45	1671	88	1195	65	118.6	7.0	96.8	5.7	110.8	6.6
80	9.42	0.56	62.8	3.7	149.7	8.9	28.6	1.7	42.6	2.5	47.3	2.8
85	7.85	0.46	9.42	0.56	9.42	0.56	6.28	0.66	9.42	0.56	10.99	0.65
90	1.70	0.69	3.40	0.56	3.54	0.68	1.11	0.36	4.53	0.65	4.46	0.66
95	1.78	0.84	2.25	0.64	2.79	0.70	0.64	0.39	2.60	0.51	2.54	0.51
100	2.08	0.61	2.72	0.77	3.43	0.56	1.42	0.56	2.07	0.53	2.05	0.53
105	3.01	0.78	2.44	0.61	2.28	0.64	1.99	0.74	2.90	0.70	1.38	0.56
110	4.7	1.1	2.27	0.80	2.50	0.79	0.89	0.80	1.97	0.74	2.13	0.73
115	4.3	1.4	2.92	0.99	3.16	0.69	1.11	0.73	2.47	0.63	2.80	0.60
120	4.3	1.5	2.6	1.1	2.66	0.79	2.72	0.60	2.74	0.77	1.77	0.68
125	2.8	1.4	3.5	1.1	2.27	0.80	1.72	0.72	2.74	0.60	2.10	0.82
130	3.1	1.4	2.9	1.2	3.96	0.87	3.59	0.88	2.65	0.70	2.25	0.61
135	4.4	1.5	3.9	1.2	3.64	0.97	3.72	0.97	2.57	0.79	2.43	0.70
140	2.8	1.4	2.5	1.2	3.7	1.1	4.0	1.1	3.18	0.89	2.63	0.79
145	3.5	1.4	2.9	1.2	2.6	1.2	3.9	1.1	3.50	0.97	3.35	0.88
150	4.3	1.4	4.3	1.2	3.8	1.2	2.9	1.2	3.9	1.1	3.72	0.97
155	3.3	1.3	3.3	1.2	3.2	1.2	3.9	1.2	3.7	1.1	4.0	1.1
160	2.3	1.3	2.4	1.3	2.6	1.3	2.0	1.2	2.7	1.2	2.2	1.1
165	1.5	1.2	2.2	1.3	2.5	1.3	1.9	1.2	2.1	1.2	1.3	1.1
170	0.00	0.11	0.00	0.11	0.00	0.11	0.00	0.11	0.00	0.11	0.00	0.11
175	0.00	0.11	0.00	0.11	0.00	0.11	0.00	0.11	0.00	0.11	0.00	0.11
180	0.00	0.11	0.00	0.11	0.00	0.11	0.00	0.11	0.00	0.11	0.00	0.11

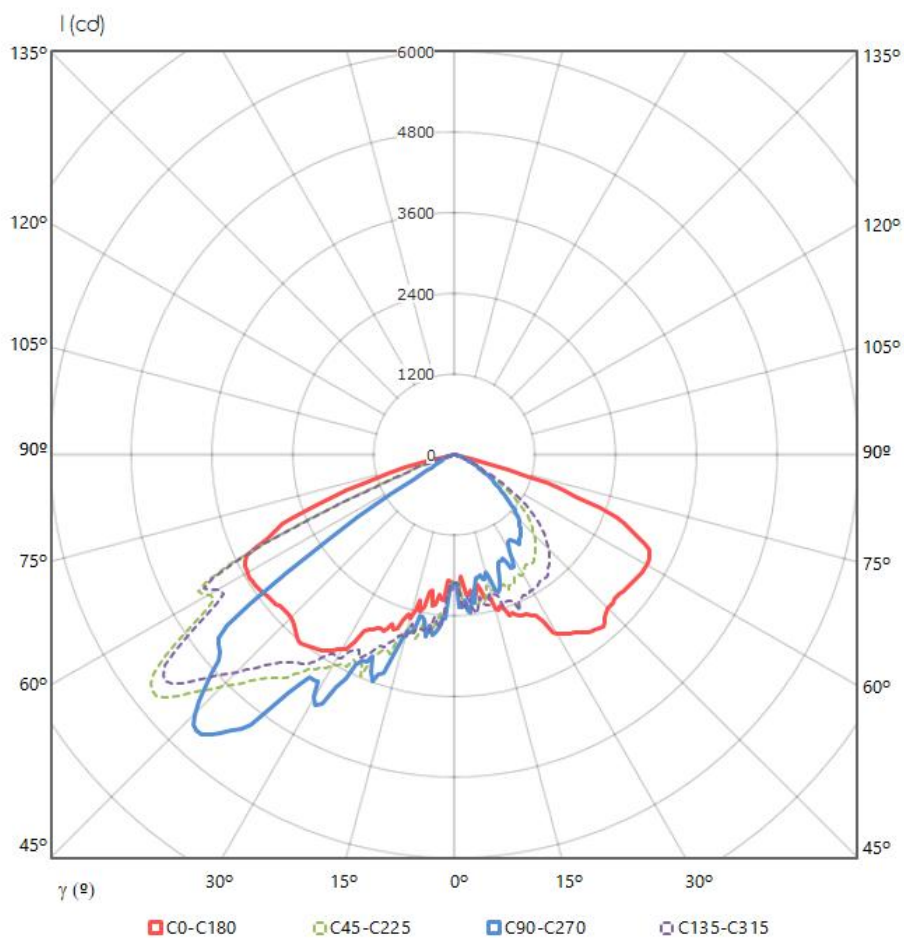
Intensidad luminosa (cd) e incertidumbre asociada ⁱ												
γ	C90		C105		C120		C135		C150		C165	
	I	U (I)	I	U (I)	I	U (I)	I	U (I)	I	U (I)	I	U (I)
0	1900	100	1900	100	1900	100	1900	100	1900	100	1900	100
5	2570	140	2350	120	2330	120	2580	140	2260	120	2050	110
10	2520	130	2560	140	2620	140	2660	140	2450	130	2250	120
15	2700	140	2890	150	2650	140	2820	150	2710	140	2460	130
20	3580	190	3460	180	3160	170	3050	160	2980	160	2650	140
25	3450	180	3190	170	3190	170	3330	180	3310	170	3250	170
30	4170	220	3760	200	3450	180	3490	180	3530	190	3780	200
35	4310	230	4120	220	3780	200	3810	200	3910	210	3920	210
40	5410	290	4990	260	4400	230	4040	210	4080	220	4160	220
45	5460	290	5250	280	5000	260	4570	240	4310	230	4160	220
50	4550	240	4380	230	4890	260	5290	280	4630	240	4330	230
55	3040	160	3560	190	4030	210	5060	270	5420	290	4630	240
60	471	28	585	35	2570	140	4020	210	6130	320	5220	280
65	224	13	204	12	401	24	3110	160	4950	260	5570	290
70	168.3	10.0	149.7	8.9	140.3	8.3	731	43	3520	190	3890	210
75	115.5	6.8	101.5	6.0	87.5	5.2	132.6	7.9	1130	62	918	50
80	50.4	3.0	39.5	2.3	31.7	1.9	19.3	1.1	75.2	4.4	10.99	0.65
85	7.85	0.46	10.99	0.65	10.99	0.65	6.28	0.66	9.42	0.56	9.42	0.56
90	1.24	0.36	3.98	0.66	3.52	0.68	1.30	0.56	3.58	0.55	3.50	0.71
95	2.43	0.51	3.57	0.67	3.16	0.69	0.91	0.58	2.93	0.59	2.55	0.78
100	1.94	0.53	1.49	0.55	2.66	0.71	1.80	0.75	2.11	0.65	3.15	0.59
105	1.30	0.56	2.40	0.72	2.02	0.74	0.97	0.79	2.71	0.77	3.68	0.68
110	2.10	0.73	1.69	0.75	2.82	0.60	1.66	0.69	1.77	0.85	2.61	0.70
115	1.32	0.77	2.44	0.63	1.94	0.67	2.25	0.81	2.36	0.61	2.99	0.78
120	2.00	0.66	1.47	0.70	2.46	0.79	2.68	0.60	2.86	0.69	3.74	0.88
125	2.47	0.79	1.95	0.83	2.86	0.60	3.02	0.69	3.32	0.78	3.86	0.97
130	2.82	0.60	2.38	0.61	3.24	0.68	1.85	0.71	4.31	0.87	4.1	1.1
135	3.12	0.69	2.66	0.70	3.54	0.77	2.36	0.80	3.18	0.89	3.9	1.1
140	1.93	0.71	3.08	0.78	2.44	0.79	3.38	0.88	3.61	0.97	2.9	1.2
145	2.14	0.80	3.92	0.87	3.45	0.88	3.95	0.96	4.2	1.1	4.1	1.2
150	3.09	0.89	4.36	0.96	3.95	0.96	4.6	1.0	3.0	1.1	4.0	1.2
155	3.46	0.97	3.37	0.98	3.03	0.98	3.8	1.1	4.0	1.1	4.0	1.2
160	2.4	1.0	2.40	1.00	1.6	1.0	2.5	1.1	2.3	1.1	2.5	1.2
165	0.8	1.0	1.0	1.0	1.0	1.0	2.1	1.1	1.9	1.1	0.9	1.1
170	0.00	0.11	0.00	0.11	0.00	0.11	0.00	0.11	0.00	0.11	0.00	0.11
175	0.00	0.11	0.00	0.11	0.00	0.11	0.00	0.11	0.00	0.11	0.00	0.11
180	0.00	0.11	0.00	0.11	0.00	0.11	0.00	0.11	0.00	0.11	0.00	0.11

Intensidad luminosa (cd) e incertidumbre asociada ⁱ												
γ	C180		C195		C210		C225		C240		C255	
	I	U (I)	I	U (I)	I	U (I)	I	U (I)	I	U (I)	I	U (I)
0	1900	100	1900	100	1900	100	1900	100	1900	100	1900	100
5	2090	110	2050	110	2400	130	2220	120	2130	110	2220	120
10	1960	100	2190	120	2160	110	2200	120	2110	110	1920	100
15	2360	120	2330	120	2370	120	2050	110	2050	110	1950	100
20	2510	130	2470	130	2520	130	2070	110	2010	110	2080	110
25	2610	140	2810	150	2580	140	2120	110	1805	95	1701	90
30	3070	160	3230	170	2620	140	2040	110	1810	96	1698	90
35	3230	170	3260	170	2730	140	1980	100	1687	89	1535	84
40	3370	180	3270	170	2630	140	1881	99	1586	84	1489	81
45	3240	170	3290	170	2470	130	1690	89	1386	76	1355	74
50	3210	170	3250	170	2200	120	1447	79	1162	64	1097	60
55	3270	170	3050	160	1780	94	1099	60	811	44	792	43
60	3300	170	2700	140	1143	63	631	38	504	30	535	32
65	3150	170	1823	96	520	31	310	18	268	16	297	18
70	2310	120	464	28	193	11	157.4	9.3	152.8	9.1	171	10
75	850	47	81.3	4.8	82.8	4.9	90.6	5.4	96.8	5.7	115.5	6.8
80	10.99	0.65	17.8	1.0	22.4	1.3	27.1	1.6	36.4	2.1	48.8	2.9
85	6.28	0.66	10.99	0.65	14.12	0.83	7.85	0.46	17.8	1.0	19.3	1.1
90	1.39	0.77	6.10	0.71	6.67	0.69	2.05	0.53	6.48	0.45	5.64	0.66
95	1.44	0.71	4.60	0.80	5.05	0.77	2.00	0.74	5.20	0.47	4.96	0.65
100	2.21	0.61	4.37	0.67	4.96	0.93	1.77	0.68	3.33	0.57	3.29	0.68
105	0.70	0.84	5.08	0.85	4.76	0.75	3.05	0.60	2.91	0.76	2.82	0.60
110	1.4	1.2	4.4	1.1	4.59	0.86	2.86	0.69	2.54	0.60	3.90	0.85
115	3.0	1.4	3.6	1.3	3.9	1.1	4.73	0.86	3.84	0.77	3.55	0.68
120	2.8	1.4	3.3	1.4	4.5	1.3	4.9	1.0	5.17	0.94	3.02	0.78
125	3.0	1.4	3.5	1.5	3.1	1.3	3.6	1.2	3.7	1.1	4.4	1.0
130	3.9	1.5	4.4	1.6	4.2	1.5	3.2	1.3	3.9	1.3	4.8	1.3
135	3.1	1.5	3.5	1.6	4.3	1.6	4.4	1.5	3.9	1.4	3.6	1.3
140	3.1	1.5	3.6	1.6	4.0	1.6	3.1	1.5	4.1	1.5	4.2	1.4
145	4.1	1.5	3.0	1.5	4.5	1.6	4.5	1.6	3.6	1.5	3.8	1.4
150	3.7	1.4	4.2	1.5	3.8	1.5	3.4	1.5	4.0	1.5	3.6	1.4
155	3.2	1.3	3.8	1.4	2.7	1.5	3.5	1.5	4.0	1.5	3.5	1.4
160	2.0	1.3	2.8	1.4	1.6	1.4	2.4	1.5	1.9	1.4	2.7	1.4
165	2.3	1.3	1.0	1.3	1.5	1.4	1.2	1.4	2.3	1.4	1.6	1.3
170	0.00	0.11	0.00	0.11	0.00	0.11	0.00	0.11	0.00	0.11	0.00	0.11
175	0.00	0.11	0.00	0.11	0.00	0.11	0.00	0.11	0.00	0.11	0.00	0.11
180	0.00	0.11	0.00	0.11	0.00	0.11	0.00	0.11	0.00	0.11	0.00	0.11

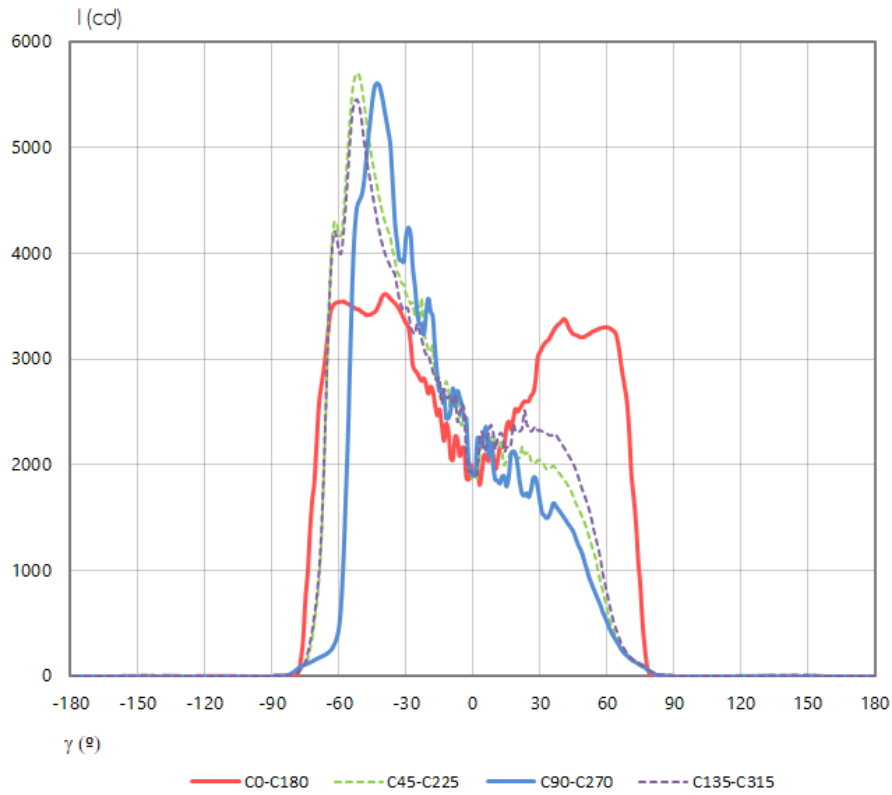
γ	Intensidad luminosa (cd) e incertidumbre asociada ⁱ											
	C270		C285		C300		C315		C330		C345	
(°)	I	U (I)	I	U (I)	I	U (I)	I	U (I)	I	U (I)	I	U (I)
0	1900	100	1900	100	1900	100	1900	100	1900	100	1900	100
5	2310	120	2210	120	2250	120	2130	110	2330	120	2150	110
10	1865	99	2030	110	2220	120	2150	110	2310	120	2330	120
15	1800	95	1980	100	2130	110	2170	110	2540	130	2370	130
20	2000	110	2130	110	2130	110	2310	120	2650	140	2600	140
25	1700	90	1769	93	1882	99	2350	120	2770	150	3040	160
30	1657	88	1752	93	1940	100	2330	120	2900	150	3430	180
35	1577	83	1585	84	1800	95	2280	120	3110	160	3680	190
40	1530	84	1573	83	1719	91	2190	120	3050	160	3780	200
45	1371	75	1417	77	1524	83	2000	110	2910	150	3730	200
50	1083	59	1159	63	1274	70	1701	90	2660	140	3640	190
55	779	46	827	45	929	51	1301	71	2220	120	3480	180
60	520	31	560	33	562	33	781	43	1496	82	3160	170
65	311	18	308	18	299	18	383	23	672	40	2440	130
70	181	11	178	11	170	10	185	11	232	14	918	50
75	115.5	6.8	115.5	6.8	109.3	6.5	107.7	6.4	96.8	5.7	109.3	6.5
80	42.6	2.5	51.9	3.1	42.6	2.5	38.0	2.2	33.3	2.0	30.2	1.8
85	12.55	0.74	19.3	1.1	17.8	1.0	9.42	0.56	14.12	0.83	10.99	0.65
90	2.52	0.34	5.62	0.66	6.21	0.45	1.63	0.55	6.65	0.69	5.31	0.61
95	2.00	0.33	4.82	0.65	4.63	0.50	1.32	0.77	5.05	0.77	4.05	0.68
100	1.69	0.54	3.02	0.69	4.16	0.67	2.33	0.80	4.90	0.94	4.38	0.81
105	2.78	0.60	2.53	0.62	3.32	0.89	1.88	0.71	5.19	0.85	4.04	0.67
110	2.27	0.81	3.55	0.87	2.69	0.79	3.0	1.1	4.2	1.1	4.40	0.86
115	3.44	0.68	2.46	0.70	3.7	1.1	3.5	1.3	4.2	1.3	4.6	1.0
120	4.23	0.87	4.9	1.0	3.0	1.3	2.8	1.4	3.6	1.3	4.2	1.1
125	3.7	1.1	4.3	1.2	3.9	1.4	2.9	1.4	3.4	1.3	3.3	1.2
130	3.5	1.2	4.0	1.3	3.4	1.4	2.9	1.4	4.3	1.4	3.8	1.2
135	3.8	1.3	3.2	1.3	3.4	1.4	4.3	1.5	3.2	1.4	3.9	1.3
140	3.8	1.3	3.4	1.3	3.6	1.4	3.8	1.5	3.0	1.4	3.1	1.3
145	3.5	1.3	3.3	1.3	3.2	1.4	3.7	1.5	4.0	1.4	3.3	1.3
150	4.2	1.4	3.9	1.4	3.1	1.4	4.5	1.5	3.3	1.3	4.1	1.3
155	2.5	1.4	3.8	1.4	3.8	1.4	2.7	1.4	4.0	1.3	3.2	1.2
160	1.4	1.3	1.4	1.3	1.9	1.3	2.9	1.3	3.2	1.2	2.1	1.2
165	0.7	1.2	0.8	1.2	2.0	1.2	2.0	1.2	2.2	1.2	2.1	1.2
170	0.00	0.11	0.00	0.11	0.00	0.11	0.00	0.11	0.00	0.11	0.00	0.11
175	0.00	0.11	0.00	0.11	0.00	0.11	0.00	0.11	0.00	0.11	0.00	0.11
180	0.00	0.11	0.00	0.11	0.00	0.11	0.00	0.11	0.00	0.11	0.00	0.11

DISTRIBUCIÓN ANGULAR DE INTENSIDAD LUMINOSA (cd)

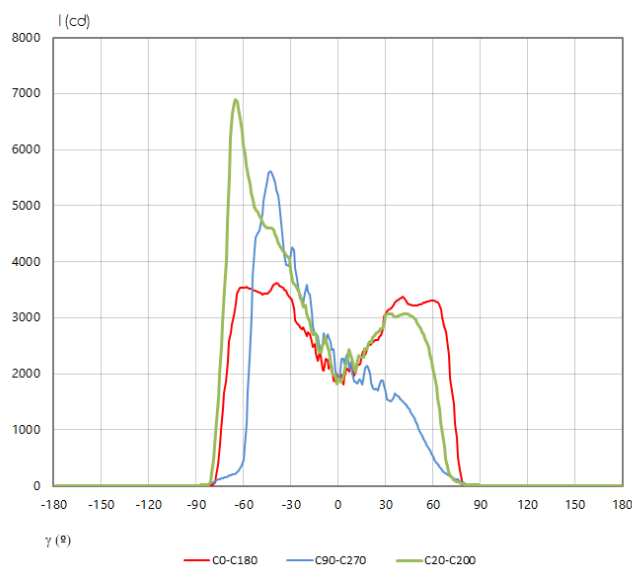
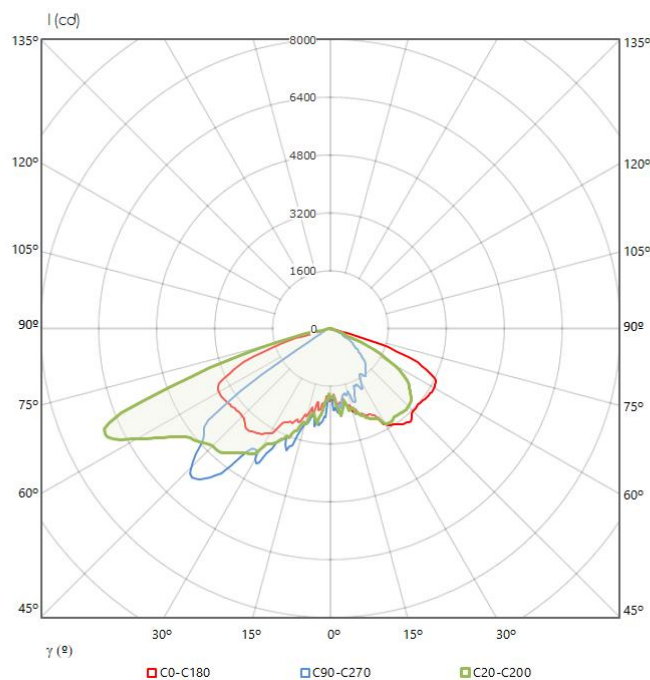
REPRESENTACIÓN POLAR PLANOS PRINCIPALES



REPRESENTACIÓN CARTESIANA PLANOS PRINCIPALES



REPRESENTACIÓN POLAR Y CARTESIANA PLANO MÁXIMO



INTENSIDAD MÁXIMA E INCERTIDUMBRE ¹		
INTENSIDAD MÁXIMA	SEMIPLANO	GAMMA
(6880 ± 360) cd	C20	65º

FLUJO LUMINOSO, FHS, FHI, FLUJOS ZONALES E INCERTIDUMBRES ¹

FLUJO TOTAL	FLUJO HEMISFERIO INFERIOR		FLUJO HEMISFERIO SUPERIOR	
FLUJO	FHI	% FHI	FHS	% FHS
(11900 ± 380) lm	(11880 ± 380) lm	(99.8 ± 4.5) %	(20.12 ± 0.59) lm	(0.1691 ± 0.0073) %

FLUJOS ZONALES HEMISFERIO INFERIOR		
Intervalo angular	FLUJO (lm)	U (lm)
0° - 5°	51.3	6.8
5° - 10°	168	18
10° - 15°	282	29
15° - 20°	425	44
20° - 25°	576	59
25° - 30°	732	75
30° - 35°	906	92
35° - 40°	1110	110
40° - 45°	1280	130
45° - 50°	1390	140
50° - 55°	1420	150
55° - 60°	1280	130
60° - 65°	1050	110
65° - 70°	755	78
70° - 75°	357	38
75° - 80°	86.5	9.7
80° - 85°	10.3	1.1
85° - 90°	5.16	0.54

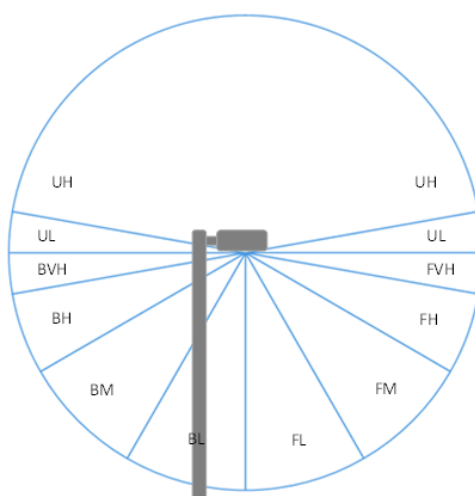
FLUJOS ZONALES HEMISFERIO SUPERIOR		
Intervalo angular	FLUJO (lm)	U (lm)
90° - 95°	2.17	0.22
95° - 100°	1.76	0.18
100° - 105°	1.57	0.16
105° - 110°	1.58	0.16
110° - 115°	1.55	0.16
115° - 120°	1.58	0.16
120° - 125°	1.51	0.16
125° - 130°	1.44	0.15
130° - 135°	1.44	0.15
135° - 140°	0.93	0.12
140° - 145°	1.06	0.12
145° - 150°	1.06	0.11
150° - 155°	0.919	0.095
155° - 160°	0.606	0.064
160° - 165°	0.326	0.035
165° - 170°	0.127	0.016
170° - 175°	0.00000	0.00037
175° - 180°	0.00000	0.00013

CÓDIGOS CIE, CLASIFICACIÓN LCS Y BUG ANSI/IES TM-15 E INCERTIDUMBRES ⁱ

CÓDIGOS CIE E INCERTIDUMBRES				
N1 ± U(N1) (%)	N2 ± U(N2) (%)	N3 ± U(N3) (%)	N4 ± U(N4) (%)	N5 ± U(N5) (%)
(38.6 ± 2.1) %	(81.0 ± 3.9) %	(99.3 ± 4.5) %	(99.8 ± 4.5) %	(100.0 ± 4.5) %

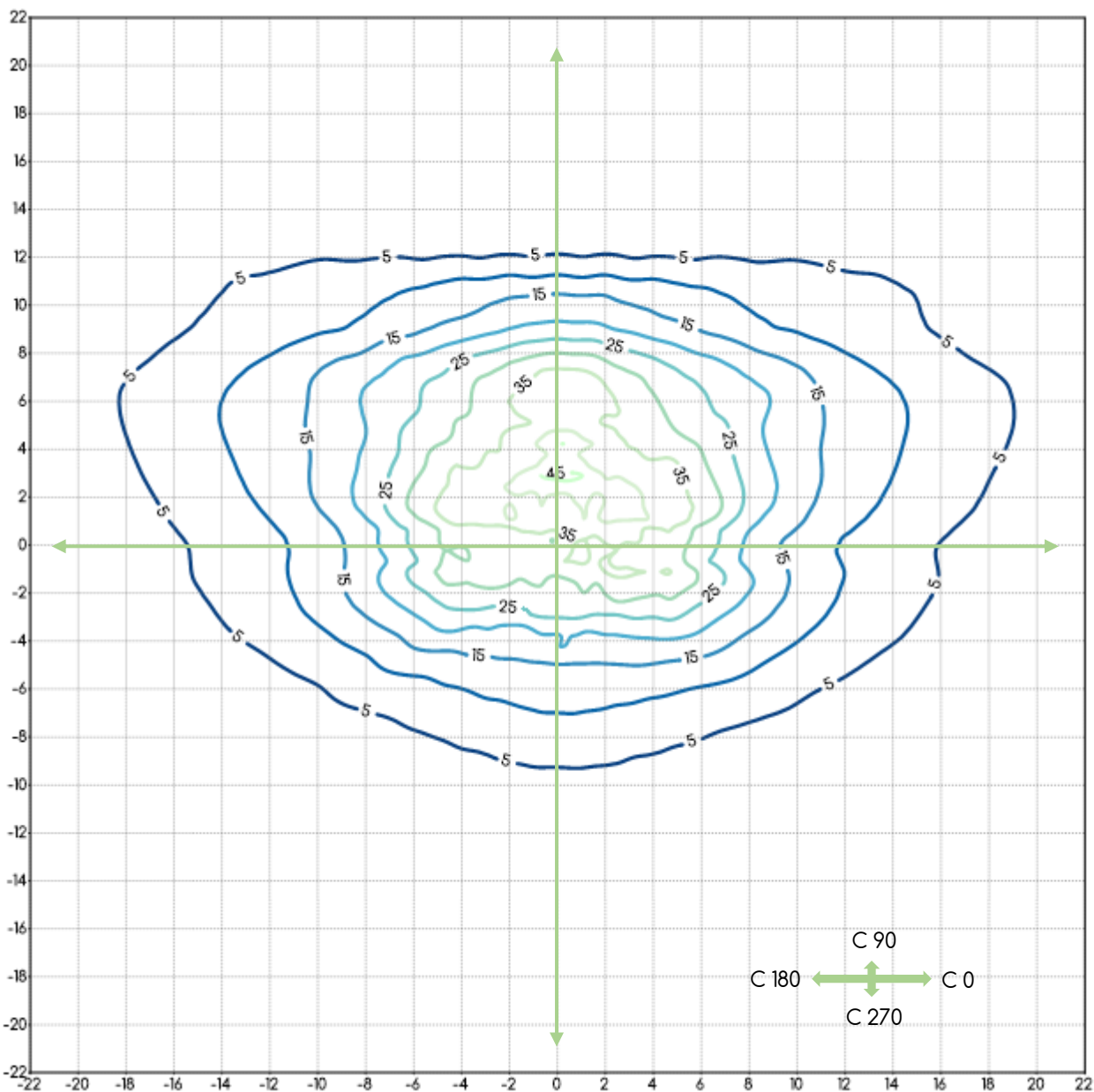
CLASIFICACIÓN LCS DE LA LUMINARIA (TM-15)			
HEMISFERIO INFERIOR FRONTAL			
FL (γ0-γ30)	FM (γ30-γ60)	FH (γ60-γ80)	FVH (γ80-γ90)
(10.84 ± 0.66)%	(42.3 ± 2.3)%	(14.3 ± 1.0)%	(0.0591 ± 0.0053)%
HEMISFERIO INFERIOR POSTERIOR			
BL (γ0-γ30)	BM (γ30-γ60)	BH (γ60-γ80)	BVH (γ80-γ90)
(7.94 ± 0.47)%	(19.8 ± 1.1)%	(4.55 ± 0.33)%	(0.0704 ± 0.0059)%
HEMISFERIO SUPERIOR			
UL (γ90- γ100)	UH (γ100- γ180)		
(0.0330 ± 0.0021)%	(0.1361 ± 0.0053)%		

ANSI/IES TM-15
BUG
B2 U2 G2



CURVAS ISOLUX

REPRESENTADAS EN UN PLANO NORMAL A LA MUESTRA EN LA DIRECCIÓN γ_0



Altura plano y valores de iluminancia representados		
Altura	Unidades	
8 m	metros	
Valor mínimo	Valor máximo	Incremento curvas
5 lux	45 lux	5 lux

Factores a aplicar para otras alturas		
Altura	Escala	Factor de escala
7	0.875	1.306
9	1.125	0.790
10	1.25	0.640

DIAGRAMA DEL FACTOR DE UTILIZACIÓN: FLUJO CALLE / ACERA

Diagrama del factor de utilización en función de la distancia lateral

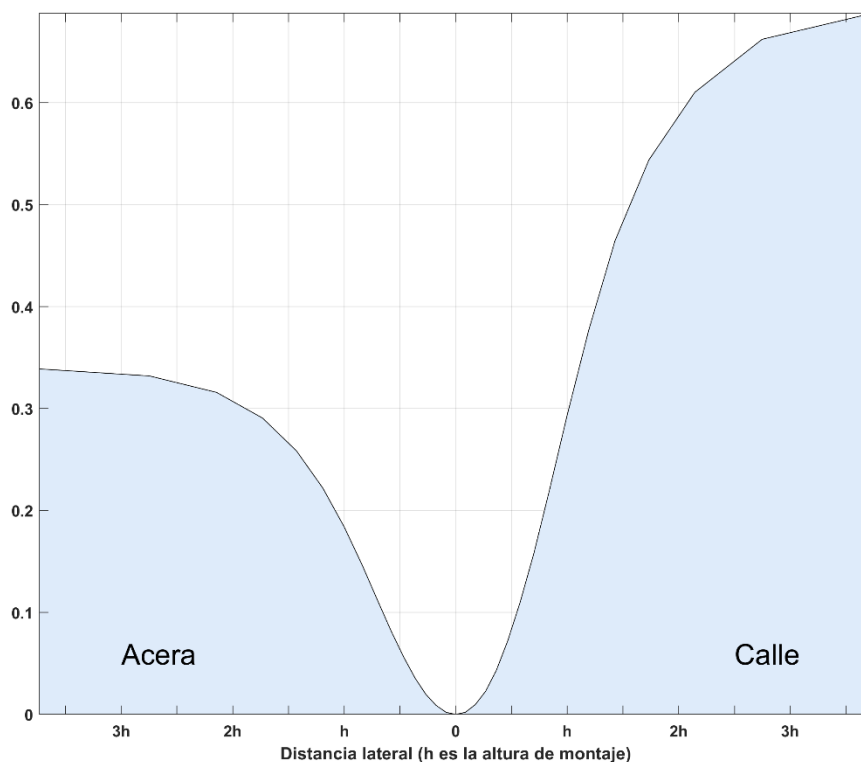
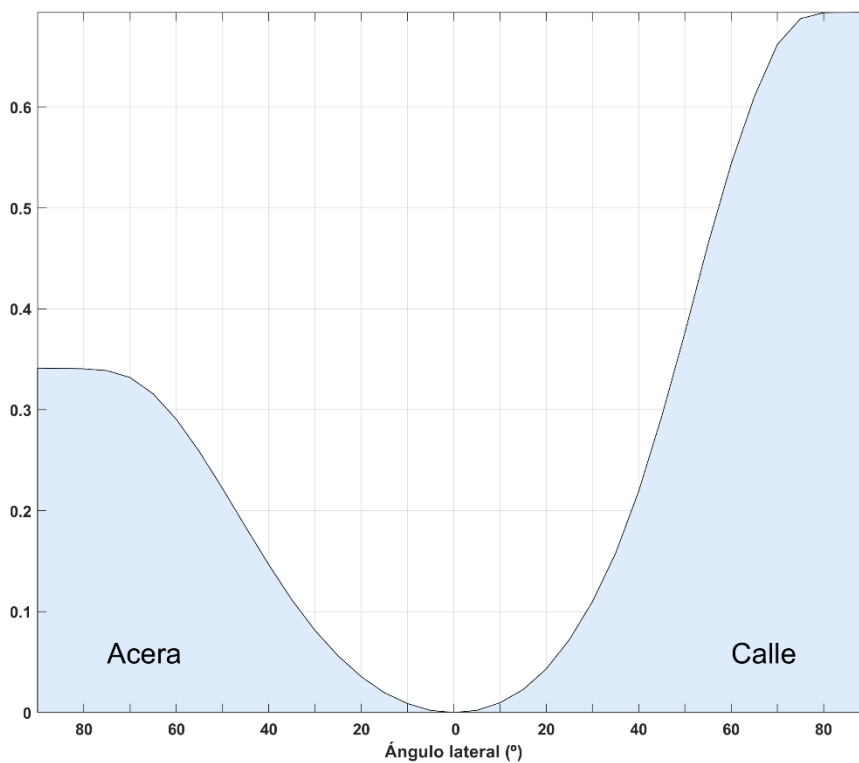


Diagrama del factor de utilización en función del ángulo lateral



TENSIÓN, INTENSIDAD, POTENCIA ELÉCTRICA, FACTOR DE POTENCIA, EFICACIA E INCERTIDUMBRES ⁱ

TENSIÓN E INCERTIDUMBRE	
TENSIÓN (V)	U (V)
229.97	0.66

INTENSIDAD E INCERTIDUMBRE	
INTENSIDAD (mA)	U (mA)
442.7	1.6

POTENCIA ELÉCTRICA E INCERTIDUMBRE	
POTENCIA (W)	U (W)
99.26	0.46

FACTOR DE POTENCIA E INCERTIDUMBRE	
FP	U
0.975	0.010

EFICACIA E INCERTIDUMBRE	
EFICACIA (lm/W)	U (lm/W)
119.9	3.8

ⁱ Todas las incertidumbres que aparecen en este informe son expandidas y han sido calculadas siendo $k = 2$ (factor de cobertura, que para una distribución normal corresponde a una probabilidad de cobertura de aproximadamente el 95 %)